



Universidade Estadual Paulista  
Júlio de Mesquita filho  
UNESP  
ICTS Sorocaba  
Engenharia de Controle e Automação



João Victor Elias Martins  
jv.martins@unesp.br

## **Trabalho Final: Tópicos em Sistemas Dinâmicos**

Relatório Simulador Pêndulo Invertido

Sorocaba, 2024

João Victor Elias Martins

## **Trabalho Final: Tópicos em Sistemas Dinâmicos**

Universidade Estadual Paulista

Orientador: Prof. Dr. Felix Mauricio Escalante Ortega  
felix.escalante@unesp.br

Sorocaba

2024

# Resumo

Este Relatório descreve o controle aplicado à um sistema de pêndulo invertido, para o controle desse sistema foi utilizado um rastreador com ação integral, a fim de, fazer com que o carrinho consiga seguir um sinal de referência.

O pêndulo invertido em questão trata-se de um simulador disponibilizado pelo Prof. Dr. Felix Mauricio Escalante Ortega, implementado em MATLAB. Tanto o modelo linearizado, quanto o controle, foram implementados dentro desse simulador, fazendo uso do modelo não linearizado disponibilizado pelo professor.

**Palavras-chaves:** Pêndulo invertido; Rastreado com ação integral; Matlab; Controle; Simulação;.

# Abstract

This Report describes the control applied to an inverted pendulum system. To control this system, a tracker with integral action was used, in order to make the cart able to follow a reference signal.

The inverted pendulum in question is a simulator made available by Prof. Dr. Felix Mauricio Escalante Ortega, implemented in MATLAB. Both the linearized model and the control were implemented within this simulator, making use of the non-linearized model made available by the teacher.

**Key-words:**Inverted pendulum; Tracked with full action; Matlab; Control; Simulation.

# Sumário

<b>1</b>	<b>INTRODUÇÃO</b>	<b>5</b>
1.1	Objetivos	5
<b>I</b>	<b>DESENVOLVIMENTO</b>	<b>6</b>
<b>2</b>	<b>MATERIAIS E MÉTODOS</b>	<b>7</b>
2.1	Linearização do modelo	7
2.2	Projeto Regulador	8
2.3	Rastreador por ação integral	15
2.4	Simulação no simulink	15
<b>II</b>	<b>RESULTADOS E CONCLUSÕES</b>	<b>18</b>
<b>3</b>	<b>RESUTADOS</b>	<b>19</b>
<b>4</b>	<b>CONCLUSÕES</b>	<b>21</b>
	Referências	22

# 1 Introdução

O pêndulo invertido é um sistema mecânico clássico com características dinâmicas intrinsecamente instáveis. Apesar de tratar-se de um sistema com estrutura bastante simples, tem sido utilizado em pesquisas com o objetivo de se avaliar o desempenho de diferentes estratégias de controle ([POLO; MOLINA; CHICA, 2012](#)) e ([NG; CHANG; SONG, 2013](#)). Além disso, o pêndulo invertido representa o princípio de inúmeras aplicações em vários campos do conhecimento, por exemplo: veículos de transporte urbano ([PATHAK; FRANCH; AGRAWAL, 2005](#)), robôs aéreos não tripulados em formação ([YANG et al., 2013](#)), robôs com duas rodas ([GRASSER et al., 2002](#)), exoesqueletos para analisar as forças de reação ao do solo com os membros inferiores ([XIANG; ARORA; ABDEL-MALEK, 2011](#)), como representação da coluna vertebral para pacientes com paraplegia de tronco ([VANONCINI; HOLDERBAUM; ANDREWS, 2012](#)), entre outras aplicações.

## 1.1 Objetivos

Neste trabalho prático final do curso, o objetivo é focar nas técnicas de controle abordadas durante a disciplina. Contudo, é necessário modelar o sistema adequadamente para posteriormente adotar métodos de controle mais avançados no futuro. O objetivo é utilizar um sistema real e simples, como o pêndulo invertido, que ilustra o princípio operacional de sistemas mais complexos ([ESCALANTE et al., 2023](#)).

Parte I

Desenvolvimento

## 2 Materiais e métodos

### 2.1 Linearização do modelo

Tendo em vista o modelo não linear disponível no simulador sem malha de controle (MARTINS, 2024a), foi possível realizar a linearização através do "Model Linearizer" do simulink figura 1, nesse sistema não linear foram definidas uma entrada, tensão de controle, e duas saídas, posição linear do carrinho e posição angular da haste.

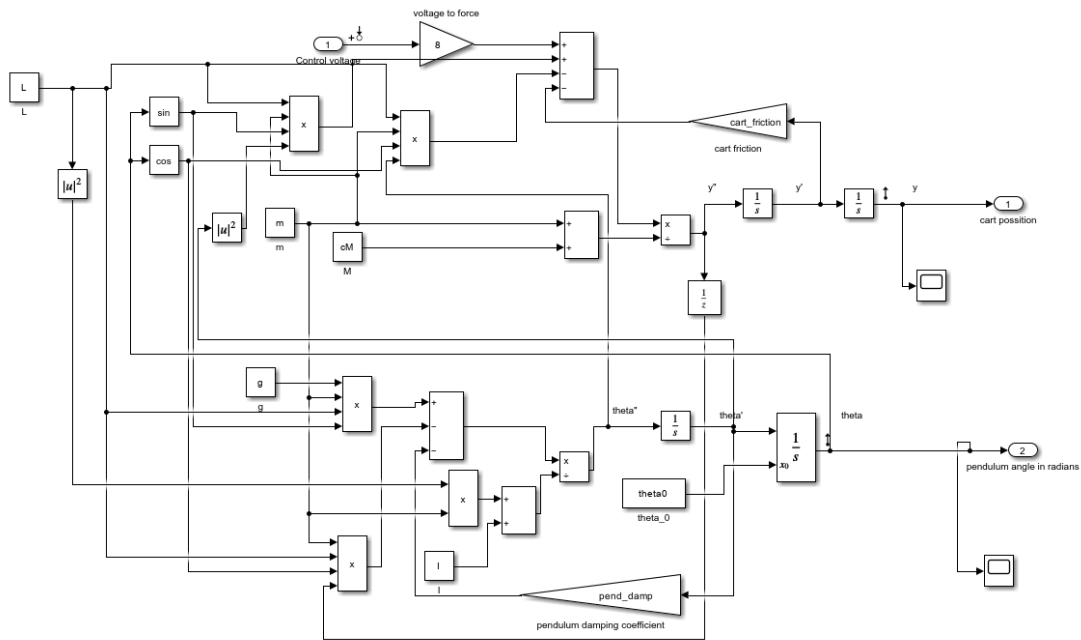


Figura 1 – Modelo não linear do pêndulo invertido.



**General Information:**

**Operating point:** Model initial condition

**Size:** 1 inputs, 2 outputs, 5 states

**Linearization Result:**

A =

	x1	x2	x3	x4	x5
x1	1	0	1.155e-06	-0.0002141	2.276e-05
x2	0.001	1	5.954e-10	-1.071e-07	1.138e-08
x3	0	0	1	0.006513	-0.000664
x4	0	0	0.001	1	-3.32e-07
x5	-0.01901	0	0.001262	-0.2141	0.02276

B =

	u1
x1	0.003042
x2	1.521e-06
x3	0
x4	0
x5	3.042

C =

	x1	x2	x3	x4	x5
y1	0	1	0	0	0
y2	0	0	0	1	0

D =

	u1
y1	0
y2	0

**State Names:**

x1 - Integrator  
x2 - Integrator1  
x3 - Integrator2  
x4 - Integrator3  
x5 - Unit Delay

**Input Channel Names:**

u1 - Control voltage

**Output Channel Names:**

y1 - Integrator1  
y2 - Integrator3

Figura 2 – Modelo em espaço de estados devolvido pelo simulink.

## 2.2 Projeto Regulador

Com o modelo em espaço de estados em mãos é possível iniciar o projeto do controlador, para esse controlador foram definidos alguns parâmetros de controle, sendo esses parâmetros, o tempo de pico máximo de 4 s, e sobressinal máximo de 2%

```

% Polos desejados (tempo de pico Tp = 2s e sobressinal 2%)
Tp = 4;                % Tempo de pico máximo (em segundos)
OS = 0.02;             % Sobressinal máximo (2%)

% Cálculo do coeficiente de amortecimento (zeta) e
    frequência natural (wn)
zeta = sqrt(log(OS)^2 / (pi^2 + log(OS)^2)); % Fórmula
    para zeta
wn = pi / (Tp * sqrt(1 - zeta^2));           % Fórmula
    para wn

% Polos dominantes
p1 = (-zeta*wn + 1i*wn*sqrt(1-zeta^2))*1
p2 = (-zeta*wn - 1i*wn*sqrt(1-zeta^2))*1

% Polos adicionais (escolhidos para estabilidade)
poles = [p1, p2, -3, -4, -5, -6]; % 6 polos para um
    sistema aumentado (6 estados)
disp(poles);

```

Após a definição dos parâmetros desejados para o sistema, alocam-se os polos dominantes que garantem a resposta desejada ao sistema. alocam-se também mais quatro polos referentes as outras variáveis de estado, nota-se que um polo a mais foi alocado, isso se deve ao novo estado que será adicionado ao sistema, representado a ação integral do rastreador.

Com os polos definidos é possível calcular os ganhos do regulador, mas como para o sistema de controle deseja-se implementar um rastreador faz-se uso de matrizes aumentadas para considerar o ganho integral.

```

global MODEL
MODEL = {};

clc, close all, clear all;

% Matriz A (5x5)

```

```

MODEL.A = [1 0 1.155e-06 -0.0002141 2.276e-05;
           0.001 1 5.954e-10 -1.071e-07 1.138e-08;
           0 0 1 0.006513 -0.000664;
           0 0 0.001 1 -3.32e-07;
           -0.01901 0 0.001262 -0.2141 0.02276];

% Matriz B (5x1)
MODEL.B = [0.003042;1.521e-06;0;0;3.042];

% Matriz C (2x5)
MODEL.C = [0 1 0 0 0; 0 0 0 -1 0];

% Matriz D (2x1)
MODEL.D = [0; 0];

% Constru o da matriz aumentada (A_aug: 7x6)
disp('Matrizes aumentadas')
MODEL.A_aug = [MODEL.A zeros(size(MODEL.A, 1), 2); -MODEL.
               C zeros(size(MODEL.C, 1), 2)];
MODEL.B_aug = [MODEL.B; zeros(size(MODEL.C, 1), size(MODEL.
               .B, 2))];
MODEL.C_aug = [MODEL.C, zeros(size(MODEL.C, 1), 1)];
MODEL.D_aug = [MODEL.D];

disp('Aa');
disp(MODEL.A_aug)
disp('Bb');
disp(MODEL.B_aug)
disp('Cc');
disp(MODEL.C_aug)
disp('Dd');
disp(MODEL.D_aug)
disp('---');

```

O intuito no começo do projeto do controlador era rastrear as duas variáveis, theta e posição linear, mas observando a controlabilidade do sistema, tem-se que não é possível controlar dessa forma, já que theta depende da posição linear. Realizando uma troca

de base, a matriz aumentada que antes era 7x7, se torna 6x6, dessa vez controlável e acomodando o estado do ganho integral.

```
%checar controlabilidade
ctrb_aug = ctrb(MODEL.A_aug, MODEL.B_aug);
rank_ctrb = rank(ctrb_aug);

if rank_ctrb < size(MODEL.A_aug, 1)
    disp('O sistema aumentado n o control vel!');
    disp(MODEL.A_aug);
    disp(MODEL.B_aug);
    disp('---');
else
    disp('O sistema aumentado control vel!');
    disp(MODEL.A_aug);
    disp(MODEL.B_aug);
    disp('---');
end

%transformar em control vel, matriz controlabilidade
MODEL.C_ctr = ctrb(MODEL.A_aug, MODEL.B_aug);

%calculo base controlavel
T = orth(MODEL.C_ctr);

%matrizes a e b controlaveis
MODEL.A_ctr = T \ MODEL.A_aug * T;
MODEL.B_ctr = T \ MODEL.B_aug;

Co = ctrb(MODEL.A_ctr, MODEL.B_ctr);
rank_Co = rank(Co);

if rank_Co < size(MODEL.A_ctr, 1)
    disp('O sistema aumentado n o control vel!');
    disp(MODEL.A_ctr);
    disp(MODEL.B_ctr);
    disp('---');
else
```

```

disp('O sistema aumentado      control vel!');
disp(MODEL.A_ctr);
disp(MODEL.B_ctr);
disp('---');
end

```

As figuras 3 e 4, apresentam as matrizes aumentadas A e B antes e depois da mudança de base para garantir controlabilidade

```

O sistema aumentado não é controlável!
  1.0000      0  0.0000 -0.0002  0.0000      0      0
  0.0010  1.0000  0.0000 -0.0000  0.0000      0      0
      0      0  1.0000  0.0065 -0.0007      0      0
      0      0  0.0010  1.0000 -0.0000      0      0
 -0.0190      0  0.0013 -0.2141  0.0228      0      0
      0 -1.0000      0      0      0      0      0
      0      0      0  1.0000      0      0      0

  0.0030
  0.0000
      0
      0
  3.0420
      0
      0

```

Figura 3 – Matrizes Aumentadas A e B antes da troca de base.

```

O sistema aumentado é controlável!
  0.0227 -0.0153  0.0847 -0.0331  0.0103  0.1938
  0.0012  1.0000  0.0015 -0.0018  0.0001  0.0043
 -0.0000  0.0014  1.0101 -0.3990  0.0162  0.3327
  0.0000 -0.0000  0.0257 -0.0085  0.0419  0.8413
 -0.0000  0.0000  0.0011  0.0408  0.9983 -0.0298
 -0.0000  0.0000  0.0000  0.0000  0.0011  1.0000

 -3.0420
  0.0001
 -0.0000
  0.0000
 -0.0000
 -0.0000

```

Figura 4 – Matrizes Aumentadas A e B após a troca de base.

Finalmente calcula-se os ganhos do regulador, para esse cálculo foi necessário utilizar a função “acker” ao invés da função “place”, por conta da instabilidade e a dificuldade de controlar o sistema.

```
% C lculo do ganho K utilizando a fun  o 'acker',14
MODEL.K = (acker(MODEL.A_ctr, MODEL.B_ctr, poles)) / 1e+0;

%MODEL.K1_5 = MODEL.K(1:5);

% Exibi  o do ganho K
disp('Ganho do controlador K:');
%MODEL.K(1) = MODEL.K(1)
disp(MODEL.K);

% teste dos polos e zeros do sistema em malha fechada
sys_aug = ss(MODEL.A_ctr - (MODEL.B_ctr * MODEL.K), MODEL.
    B_ctr, MODEL.C_aug, MODEL.D_aug)
MODEL.A_exp = MODEL.A_ctr - (MODEL.B_ctr * MODEL.K);

step(sys_aug)

% zero
zeros_aug = tzero(sys_aug);

%polo
polos_aug = pole(sys_aug);

disp('Zeros do sistema controlado (com K):');
disp(zeros_aug);

disp('Polos do sistema controlado (com K):');
disp(polos_aug);
```

A figura 5 apresenta a resposta ao degrau do regulador, nota-se que após a troca de base as variáveis se inverteram, sendo theta o primeiro, retornando ao angulo 0°, e a posição linear tentando seguir a referência. como os ganhos são muito altos a resposta apresenta ordens de grandeza muito baixas.

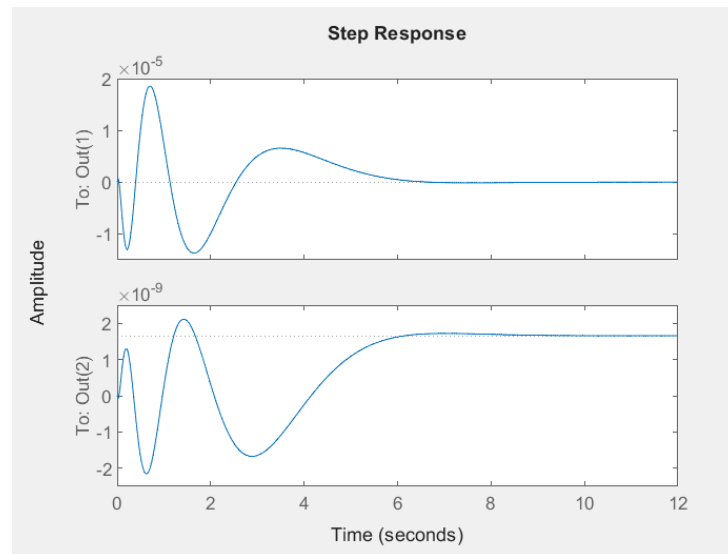


Figura 5 – Resposta ao degrau do regulador

As figuras 6 e 7 apresentam respectivamente os ganhos do controlador e os polos do sistema em malha fechada com o regulador, observa-se que foi possível alcançar os polos desejados para o sistema, e que os ganhos apresentam uma ordem de grandeza muito elevada.

Ganho do controlador K:

$1.0\text{e}+14$  \*

-0.0000    -0.0000    -0.0000    -0.0003    -0.0091    -3.1951

Figura 6 – Ganhos K para o sistema.

Zeros do sistema controlado (com K):

Polos do sistema controlado (com K):

-6.0000 + 0.0000i

-5.0000 + 0.0000i

-4.0000 + 0.0000i

-3.0000 + 0.0000i

-0.9780 + 0.7854i

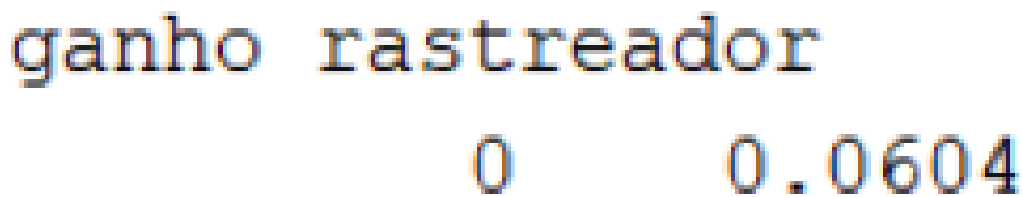
-0.9780 - 0.7854i

Figura 7 – Polos do sistema controlado.

## 2.3 Rastreador por ação integral

Por último projeta-se o rastreador, o código abaixo apresenta o cálculo para o ganho integral, nota-se que foi necessário diminuir a ordem de grandeza desse ganho, pois ele trazia instabilidade ao sistema caso fosse mantido alto. A figura 8 apresenta o ganho obtido.

```
a = (MODEL.A_ctr - (MODEL.B_ctr * MODEL.K))^-1;  
b = MODEL.C_aug * a * MODEL.B_ctr;  
MODEL.N = (-1/b)/1e+10;  
  
disp('ganho rastreador');  
disp(MODEL.N);
```



ganho rastreador  
0.0604

Figura 8 – Ganhos do rastreador.

## 2.4 Simulação no simulink

Com o modelo em mãos foi desenvolvido uma malha de controle no simulink, algumas observações importantes para a simulação foram, a necessidade de aplicar um ganho na saída do sistema de  $0.5e+7$  para que o sistema atingisse o setpoint. E por falta de um observador de estados foi necessário recuperar os estados direto do sistema de espaço de estados, sendo necessário reimplementar o bloco de espaço de estados no simulink.





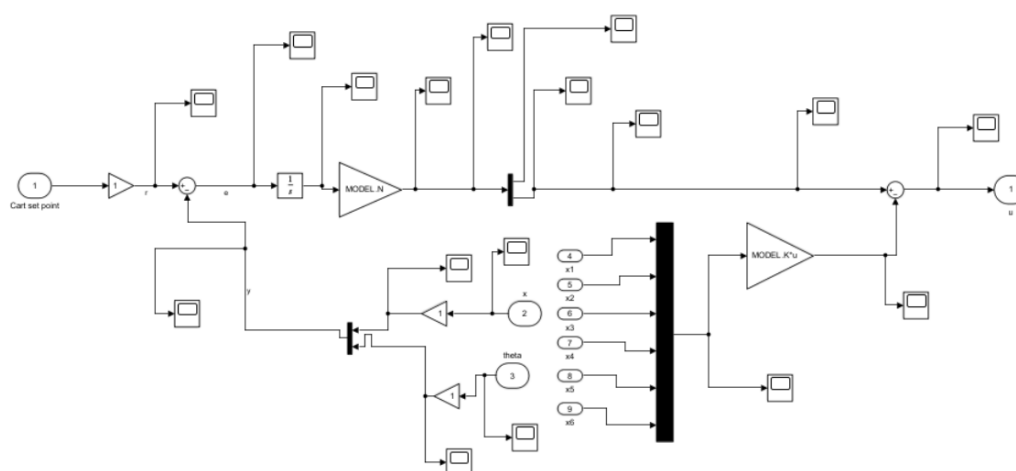


Figura 11 – Rastreador por ação integral.

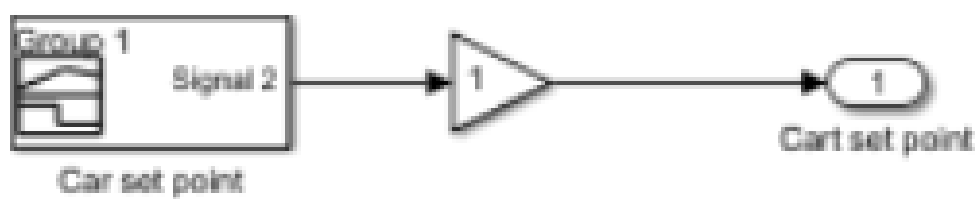


Figura 12 – Sinal de referência.

## Parte II

### Resultados e conclusões

### 3 Resultados

Após as simulações foi possível obter tanto os gráficos de posição angular e posição linear, junto dos sinais de controle e de estados. tanto a simulação do pêndulo funcionando disponível no Youtube ([MARTINS, 2024b](#)). O projeto completo está disponível no GitHub em ([MARTINS, 2024a](#)).

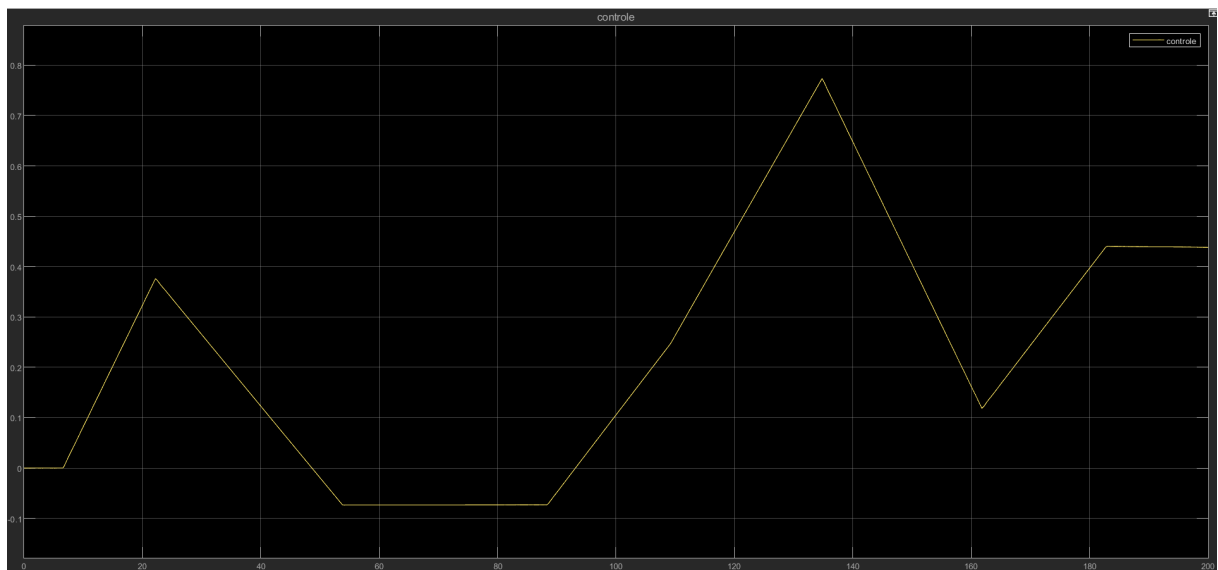


Figura 13 – Sinal de controle.

O sinal de controle apresenta um perfil similar a resposta do ângulo, isso se deve ao fato de o objetivo do sistema ser controlar a posição angular da haste, não a deixando cair.

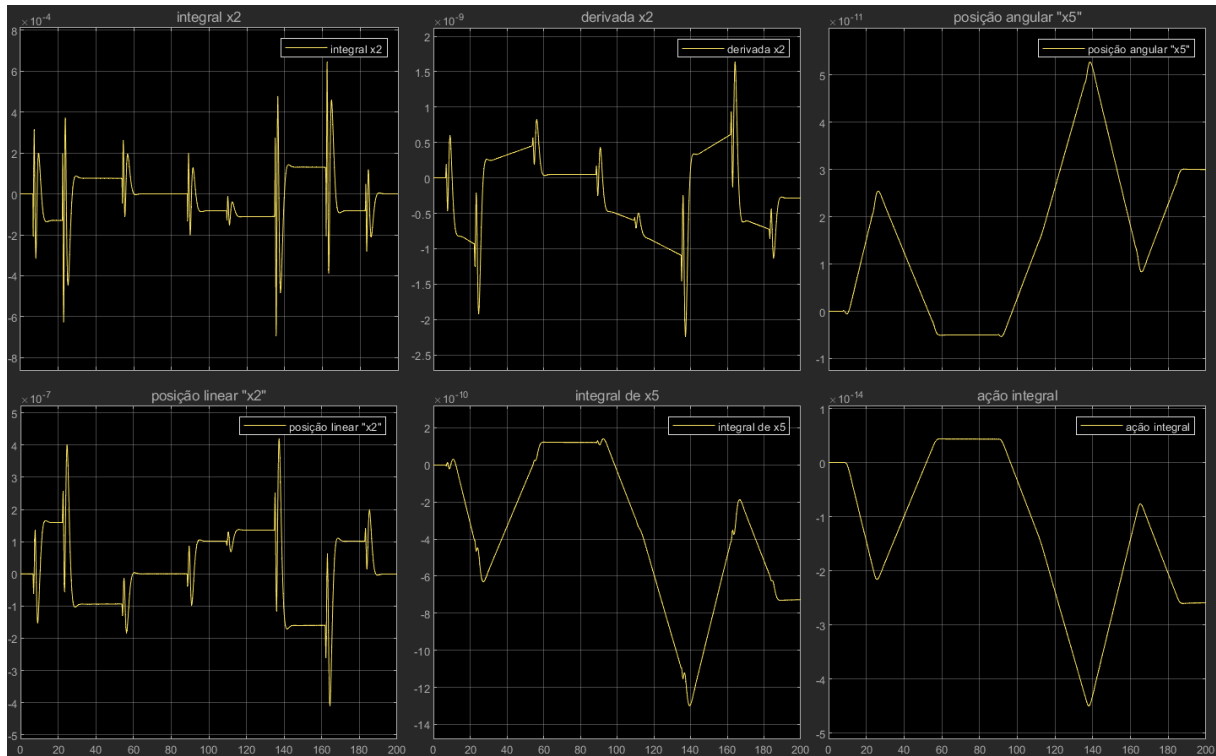


Figura 14 – Estados do sistema.

Para os estados do sistema observa-se uma troca do estado do ângulo, sendo apresentado agora no estado  $x_5$ , provavelmente isso ocorre por conta da troca de base realizada para garantir a controlabilidade.

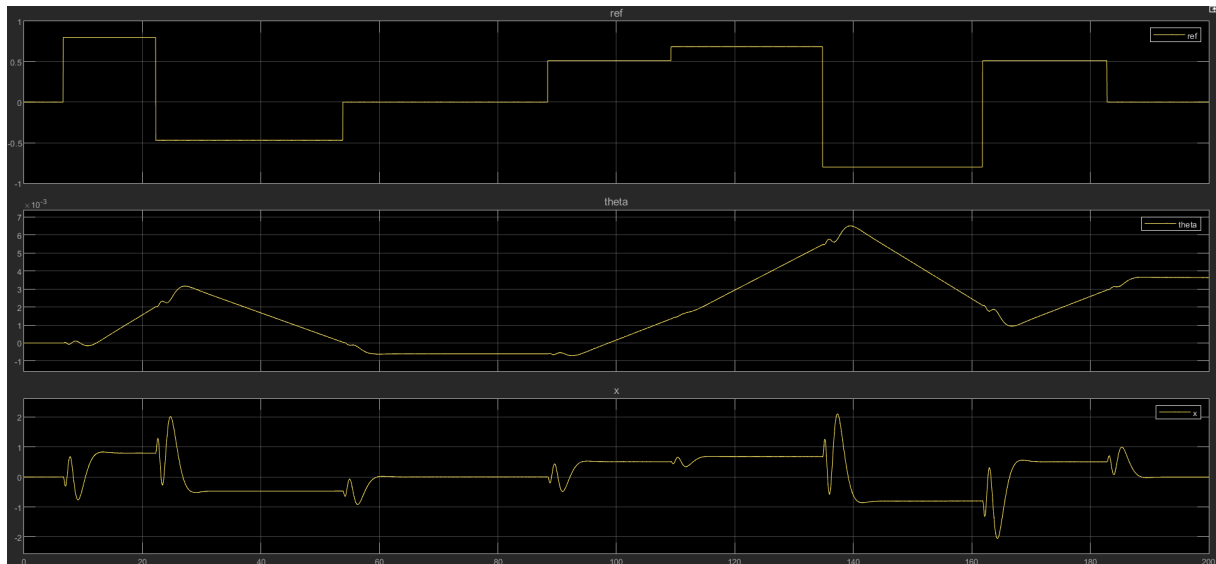


Figura 15 – Saídas do sistema controlado com ação integral, seguindo a referência.

A resposta final do sistema apresenta o erro nulo em regime, seguindo a referência, mas com muito overshoot nos momentos de troca do sinal, sendo necessário tomar cuidado em uma implementação física, isso ocorre principalmente por conta dos altos ganhos do regulador.

## 4 Conclusões

O sistema de controle desenvolvido conseguiu seguir a referência com o revés de adicionar um overshoot muito alto nas trocas de posição do carrinho, deve se ater a esse fator numa eventual implementação física.

Algumas coisas que poderiam corrigir esse comportamento seriam as alterações dos parâmetros desejados, remodelagem do sistema, linearizando o sistema já na modelagem, à fim de minimizar os ganhos do regulador.

# Referências

- ESCALANTE, Felix M et al. Robust linear quadratic regulator applied to an inverted pendulum. *Asian Journal of Control*, Wiley Online Library, v. 25, n. 4, p. 2564–2576, 2023. Citado 1 vez na página 5.
- GRASSER, Felix et al. JOE: a mobile, inverted pendulum. *IEEE Transactions on industrial electronics*, IEEE, v. 49, n. 1, p. 107–114, 2002. Citado 1 vez na página 5.
- MARTINS, João Victor Elias. *Controle Pêndulo Invertido GitHub*. Universidade Estadual Paulista. Nov. 2024. **urdedo**<sub>indicadorrom</sub>: <https://github.com/VihEltins/Controle-de-pendulo-invertido>. Acesso em: 27 nov. 2024. Citado 2 vezes nas páginas 7, 19.
- MARTINS, João Victor Elias. *Controle Pêndulo Invertido Vídeo*. Universidade Estadual Paulista. Nov. 2024. **urdedo**<sub>indicadorrom</sub>: <https://youtu.be/zcNQ4ZTUE0Y>. Acesso em: 27 nov. 2024. Citado 1 vez na página 19.
- NG, Wai Man; CHANG, Dong Eui; SONG, Seong-Ho. Four representative applications of the energy shaping method for controlled lagrangian systems. *Journal of Electrical Engineering and Technology*, The Korean Institute of Electrical Engineers, v. 8, n. 6, p. 1579–1589, 2013. Citado 1 vez na página 5.
- PATHAK, Kaustubh; FRANCH, Jaume; AGRAWAL, Sunil Kumar. Velocity and position control of a wheeled inverted pendulum by partial feedback linearization. *IEEE Transactions on robotics*, IEEE, v. 21, n. 3, p. 505–513, 2005. Citado 1 vez na página 5.
- POLO, Manuel F Pérez; MOLINA, Manuel Pérez; CHICA, Javier Gil. Swing-up and positioning control of an inverted wheeled cart pendulum system with chaotic balancing motions. *International Journal of Non-Linear Mechanics*, Elsevier, v. 47, n. 6, p. 655–665, 2012. Citado 1 vez na página 5.
- VANONCINI, Michele; HOLDERBAUM, William; ANDREWS, Brian J. Electrical stimulation for trunk control in paraplegia: a feasibility study. *Control Engineering Practice*, Elsevier, v. 20, n. 12, p. 1247–1258, 2012. Citado 1 vez na página 5.
- XIANG, Yujia; ARORA, Jasbir S; ABDEL-MALEK, Karim. Optimization-based prediction of asymmetric human gait. *Journal of biomechanics*, Elsevier, v. 44, n. 4, p. 683–693, 2011. Citado 1 vez na página 5.
- YANG, Aolei et al. Stability analysis and implementation of a decentralized formation control strategy for unmanned vehicles. *IEEE Transactions on Control Systems Technology*, IEEE, v. 22, n. 2, p. 706–720, 2013. Citado 1 vez na página 5.